

不織布による河川堤防の強化に関する実験的研究

EXPERIMENTAL RESEARCH ON RIVERBANK STABILIZATION USING NONWOVEN FABRIC

吉川秀夫¹・馬場仁志²・船木淳悟³・長谷川茂⁴・竹本成行⁵・山口俊平⁶

Hideo KIKKAWA, Hitoshi BABA, Jungo FUNAKI, Shigeru HASEGAWA,
Masayuki TAKEMOTO and Shunpei YAMAGUCHI

¹正会員 工博 東京工業大学名誉教授 (〒166東京都杉並区久我山3-2-25)

²正会員 農修 北海道開発局開発土木研究所 河川研究室 (〒062札幌市豊平区平岸1-3)

³正会員 北海道開発局開発土木研究所 河川研究室 (〒062札幌市豊平区平岸1-3)

⁴正会員 (財) 河川環境管理財団 河川環境総合研究所研究第4部 (〒060札幌市中央区南1西7)

⁵正会員 (財) 河川環境管理財団 河川環境総合研究所研究第4部 (〒060札幌市中央区南1西7)

⁶医博 日本バイリーン株式会社 研究開発部 (〒306-02茨城県猿島郡総和町北利根7)

The possibility is considered of effective riverbank stabilization using a combination of vegetation and nonwoven fabric to make the bank and fabric strong enough, in such combination, to withstand damages caused by flowing water, rainwater and wild animals. This reinforcement eventually would make it possible to lessen the frequency of weedings presently done in riverbank maintenance and management. As a result, improved safety of the riverbank and reduced maintenance costs are expected, as well as diversification of vegetation toward fostering a grassland ecosystem.

This research seeks to verify the expected effects of the use of nonwoven fabric as a reinforcing material for riverbanks through experiments to examine the applicability of the material.

The effectiveness of the nonwoven fabric was confirmed in two experiments. One concerned the behavior of the fabric under the condition of maximum water velocity of 3m/s in a straight, 3-m wide, 40-m long waterway with 1/50 gradient. The other concerned characteristics of the permeability of the same fabric under the condition of a rainfall intensity of 60 mm using a one-meter-high experimental bank.

Key words: riverbank, countermeasures against erosion, geotextile, nonwoven fabric, hydraulic experiment.

1. はじめに

河川堤防の法面は、流水や雨水による侵食を防止するために植生で保護されている。こうした堤防は、亀裂やモグラ穴等による堤体の劣化を確認するなどの維持管理上の必要性¹⁾から北海道では年間2~3回、本州では5回程度の除草が行われている。定期的な除草は周辺植物の堤防への侵入を阻み、植生の不均一化による弱点箇所を未然に防ぐ効果がある反面、堤防整備の進捗に平行して維持管理の負担も増大していくことから、今後の高齢化社会に対応した効率的な維持管理技術が強く求められている。²⁾さ

らに、良好な河川環境の創出という点でも、堤防除草によって堤内側と河畔域とのビオトープの連続性を分断してしまうほか、背後地が自然的景観を有する地域に芝生单一の人工的な植生景観が共存するとといった、景観上の課題も指摘されている。

一方、平成8年6月の河川審議会答申の中では、21世紀に向けた河川整備の推進方法の一つに堤防の質的強化技術開発が上げられており、堤防に関する質の高い技術に対する要請が高まっている。

近年、土木工事の分野では構造物の安定性や強度の向上、環境保全等の観点からジオテキスタイルを利用した施工が数多く試みられている。河川工事へ

の利用では、最近このジオテキスタイルを袋状にし中詰め材を充填したものを多自然型護岸工や護床工などに使用する事例が増えてきている³⁾。

ジオテキスタイルは高分子材料を用いた、織布や不織布などの繊維材のほかにプラスチックメッシュやメンブレンなども含めたものとされているが、⁴⁾⁵⁾本研究ではこのうち不織布のシートに着目し、堤防補強材としての有効性について実験により検討する。

本報告は、流速3m/s程度の流れ環境下で法面を被覆した不織布がどのような挙動をするのか観察した水路実験と⁶⁾、植生と不織布を組合せて被覆した堤高1mの試験堤防で降雨強度約60mm/hrの条件における透水特性の違いを調べた降雨実験の結果を報告するものである。

2. 研究目的

本研究は、堤防補強材としての不織布の有効性の確認と敷設技術の開発を目的としている。堤防補強材として期待される効果は以下のとおりである。

- ①引張強度や引裂抵抗を有する特性を生かし、堤防表面を覆うように敷設することによって雨水や流水による侵食、モグラ・ネズミ等の動物による劣化を防止できるのではないか。
- ②透水性、通根性があるため、堤防に敷設した不織布の上に覆土することで植物が容易に活着し、かつ植物の根が不織布と一体となることによって、表土の流出を防ぎ、堤防保護効果を高めるのではないか。
- ③従来のコンクリートに代わる堤防補強材として、河川景観の向上や堤体表面の植生に多様性が生まれ出されるのではないか。

3. 水路実験

(1) 実験施設

図-1のような幅3.0m、深さ1.0m、長さ40m、勾配1/50の矩形直線水路に、法勾配1:2、水路床幅0.2mの疑似堤防法面を設置した。この水路に、不織布そのものの流水に対する耐性を把握することを目的として、法の表面に不織布を暴露した状態で敷設した。

この水路を最大能力1m³/sの給水系に接続し、出水時の堤防近傍流速に近い3m/s程度の流速を発生させ、不織布の高流速下での挙動や堤防表面の侵食について実験可能な施設となっている。

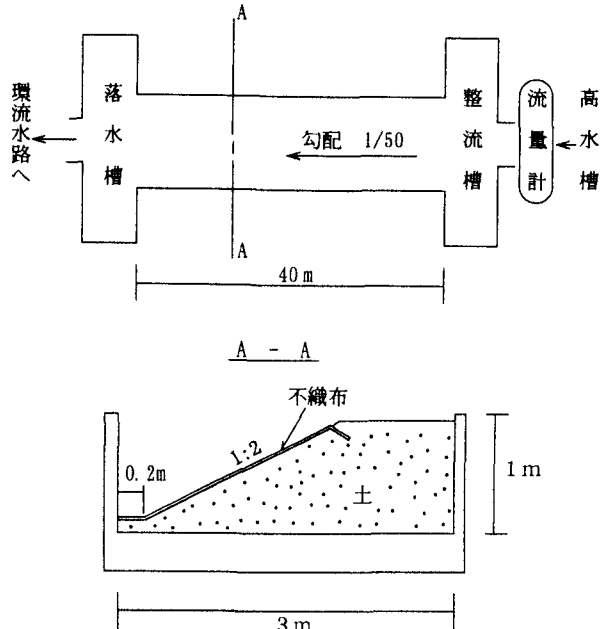


図-1 実験水路

(2) 実験に使用した不織布の特性

不織布はそれ自体吸い出し防止効果があるうえ、部分的に穴があいてもそこからほつれが拡大しにくい性質があることから、流水にさらされ砂礫や浮遊物の衝突によって損傷を受ける危険性が高い堤防法面の補強材としては他の種類よりも優れていると考えられる。不織布タイプのジオテキスタイルも素材、製法等により、その特性も異なる。堤体中に敷設する保護材としては、強度、透水性、土砂吸い出し防止性、土中耐久性、耐薬品性等に優れていること。更に、表層植生の流水に対する耐侵食を増すことを期待して通根性に優れていることが要求される。

これらの要件を勘案し、素材としてポリオレフィン系（ポリプロピレン、ポリエチレン等）繊維を用い、ニードルパンチ法による結合と熱接着により作られた不織布を選定した。

実験に使用した不織布の試験結果を表-1に示す。なお、実験に使用した不織布を地面に放置し、積雪下で一冬経過後の試験結果は同表に併記したとおりで、強度的には劣化は見られないようであるが、圧縮され透水係数が減少する結果となっている。

(3) 実験ケース

不織布の敷設方法によってどのような挙動をするかを把握するため、法面を流下方向に5mのブロックに区切り、それぞれ敷設方法を変えて比較実験した。まずケース1～3について実験1として行い、その結果を踏まえて敷設方法を再検討し、ケース4～8を実験2として行った。敷設方法を模式的に示すと図-2のようである。

a) 実験 1 (ケース 1~3)

不織布を敷設する場合にその固定方法として、図-2に示す固定金具（径 6 mm 丸棒鋼、引抜抵抗力 15 kg）を用いたとき、その配置によって流水による挙動の違いを確かめることを目的とした。継手部は、15 cm 幅の重ね部分をステープラーにて密に接合した。また、各敷設ケースの間は現象を独立させるためと、一部の破壊が全体に及ばないようにとの配慮から、間仕切り壁（鋼板製）を設置した。なお、水路の上流部 15 m、下流部 10 m を実験区間から除外し、この区間は固定金具を密に打ち込んだ。

そのほかの各ケースの条件は以下のとおりある。

ケース 1 (測線 N0. 15~20) : 四隅、中央部、および水路床設置部で計 12 点固定

ケース 2 (測線 N0. 20~25) : 敷設面の四隅のみ金具で固定

ケース 3 (測線 N0. 25~30) : 敷設面に対し固定金具を用いない

実験は先ず $0.5 \text{ m}^3/\text{s}$ を通水し、約 25 分間観察した。不織布の水流による上下動は見られるが、長時間通水でも破壊には至らないと判断されたので、 $0.75 \text{ m}^3/\text{s}$ を約 10 分間通水して様子を見た後、 $1.0 \text{ m}^3/\text{s}$ を 35 分間通水した。合計の通水時間は約 80 分である。

b) 実験 2 (ケース 4~8)

実験 1 での問題点を踏まえて敷設方法を検討し、固定金具を押さえブロック（重量 8 kg）にかえて実験した。また継手部のステープラー止め間隔を 30 cm 程度に粗くするとともに、各敷設ケースの上流側の巻き込み処理を袋状にし、土を詰めた。さらに各区間の境界部の間仕切り固定壁はない方が良いと判断されたので撤去し、また、実験 1 の水面形から、流入部から 10 m 地点より下流 25 m 区間を実験区間とすることができると判断し、5 ケースを配置することとした。なお、実験区間外の上下流部は不織布の裏面を径 40 mm 以下の切込砂利層とした。

そのほかの条件は次のとおりである。

ケース 4 (測線 N0. 10~15) : 押さえブロックを四隅と中央部に計 5 個配置

ケース 5 (測線 N0. 15~20) : 敷設区間の後ろ側に重点的に計 5 個配置

ケース 6 (測線 N0. 20~25) : 敷設区間の後ろ側の両隅と中央部の計 3 個配置

ケース 7 (測線 N0. 25~30) : ブロックを配置しない

ケース 8 (測線 N0. 30~35) : ブロックを敷設せず、実験 1 と同様の巻き込み処理

実験は流量 $0.5 \text{ m}^3/\text{s}$ を約 30 分通水した後、 $1.0 \text{ m}^3/\text{s}$ を約 45 分間通水後停水し観察した。一部流出した押さえブロックを元に戻し、更に 35 分間 $1.0 \text{ m}^3/\text{s}$ を通水

した。合計通水時間は約 110 分である。

表-1 実験に用いた不織布の特性値

項目	材質		備考
	通水前	通水後	
質量 (g/m^2)	253	396	通水後は上を含む
厚み (mm)	6.0	4.8	押圧 2.0 kPa
引張強度 (N/5 cm ²)	タテ ヨコ ヨコ	397 286 285	JIS L1085
伸び率 (%)	タテ ヨコ	19.4 80.0	19.8 68.6
透水係数 (cm/sec)	0.87	0.51	JIS A1218

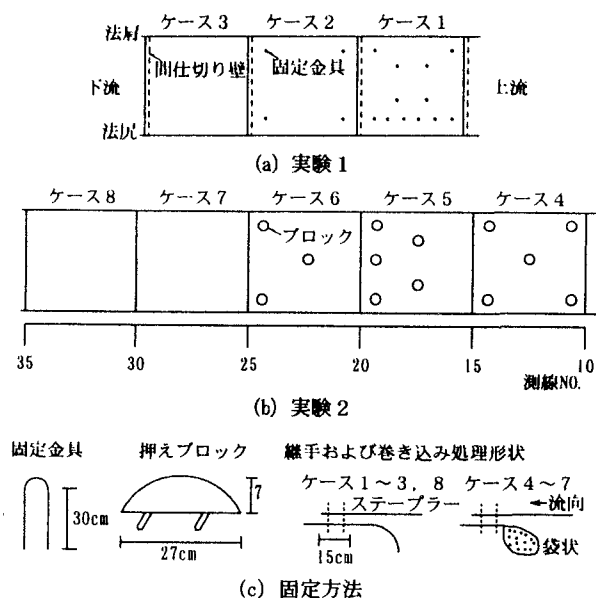


図-2 敷設ケース

(4) 結果と考察

a) 流況と不織布の挙動

流れは射流領域にあり、水面は動搖の激しい流況となっている。これに伴ない不織布は波動的に振動し、水面付近の背面土砂の崩落が起きている。また、不織布は透水性が大きいため、背面への通過流入水量が多く、堤体上の細粒分を掃流する程度の流れが背面に生じているようである。

実験 1 では継手部を密に止めたため、背面の流れによりこの部分がふくらみ、動搖の振幅がより大きくなる現象が見られた。また、固定金具は堤体土表層の湿潤化と流れの振動等による弛みから抵抗力が減じたことも一因して、殆どの金具が浮き上っており、効果が充分発揮されなかった。ただし、堤体

侵食防止の観点からはほぼ満足すべき状況であった。

実験2ではシートとともに押さえブロックが振動しており、大きな圧力変動が生じていると推察された。ケース5で押さえブロックを3個並べた箇所ではやや縮流効果が現われ、下流に強い流れが見られた。また、堤体上の変形に伴ない押さえブロックの座りが不安定となって裏面に流水を受けて一部ブロックが流出した。

実験1, 2ともにステープラー止めの一部に不織布が切断され、あるいはピンが伸びてはずれている箇所が見られた。

しかし、不織布の損傷や流出するような挙動は見られず、堤体土の表層部の変形は起きるが、堤体の壊滅的破壊をくい止める、あるいは進行を遅らせる効果は充分期待できると思われた。

b) 斷面流速分布

通水中に測定した断面流速分布の一例を図-3に示す。流速は側壁寄りの流心部で約3m/s、法面の近傍で1m/s以上の高速流が発生していることが確認された。

c) 断面変化

通水後に断面変化を計測した結果は、実験1, 2とともに洗掘傾向となっており、通水時間が長い実験2のほうが全体として洗掘量が大きくなっている。不織布は吸い出し防止効果が高く、疑似堤防盛土材料に用いた土質が最大粒径19mm, 50%粒径0.38mmで細砂・粗砂がほとんどを占めていることから、吸い出しによって洗堀が生じたものではなく、主な堤体材料の流出は、不織布の下面と堤体間に流水が生じ、これにより堤体材料が掃流されることと、不織布の上下方向の振動に伴う堤体との間の水の流動による堤体材料の下方への落下、ならびに不織布のふいご作用に伴う不織布の継目からの土砂の流出である。

次に実験 1, 2についてそれぞれ見てみる。

(実験 1)

各ケース間に仕切壁を設置していたため、仕切壁の箇所では図-4(a)の測線N0.20に見られるように、その前面で著しい洗堀傾向が見られるが、それ以外の測線上の洗堀量に大きな差はなく、断面形状は図-4(b)に示したように法面の上方からの崩れ、あるいは上流側からの流送土砂の堆積によって法面の下方にはらみ出しが生じ、見かけ上平均洗掘深が小さくなっている。

(実験 2)

押えブロックを敷設した測線N0. 10～25の区間で、実験1と逆の結果となった。すなわち、敷設パターンの境界付近（測線N0. 15, 20, 25）よりも中央部の方が相対的に洗掘量が大きくなっている（図-5）。

このことは、押さえブロックによって、洗掘による法面の変形に追随して不織布を法面に密着させたことで、かえって両者の間を通過する流れが強まったためと考えられる。

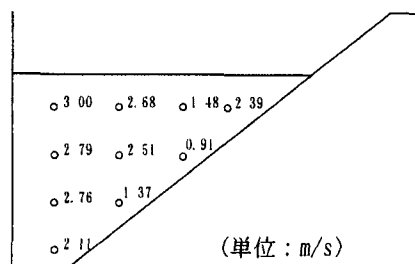
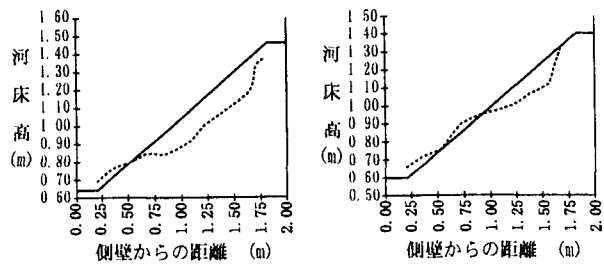
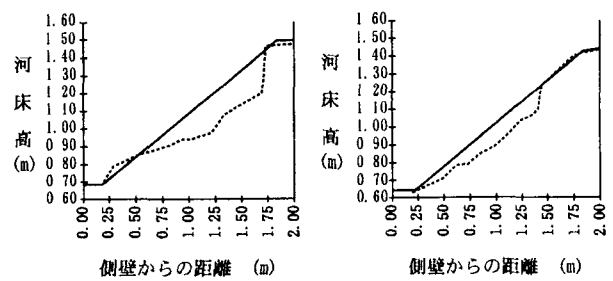


図-3 断面流速分布(実験2. 測線No.9)



(a) 測線No.20 (b) 測線No.22
図-4 洗掘による法面変形の例(1)



(a) 測線No.18 (b) 測線No.20
図-5 洗掘による法面変形の例(2)

押えブロックを敷設していない区間では、ケース7と8の巻き込み処理の違いによる差はほとんどなかった。

法面変形の状況を縦断的に見ると図-6のようである。図の上段の線は左岸側壁から90cm地点（河床からの水深35cm），下段は40cm地点（10cm）の通水後の縦断線を現わしている。

全ケースとも法面上部は崩落しており、ケース 6 を除いて下部に堆積してはらみ出し箇所が生じている。ケース 6 は前述したようにケース 5 の区間の影

響を受けた流れによって背面土砂の流出が大きくなつたものと思われる。なお、上下流の砂利層区間の変形は小さく、不織布背面の流動に対応した材質層を設けること、また堤防の緩傾斜化が不織布の有効性を高めることができることが示唆された。

実験継続時間が100分程度と実際の洪水継続時間から見れば短いが、不織布自体の有効性はほぼ確認することができたと考えられる。

4. 降雨実験

(1) 実験施設

実験施設は図-7に示すような、堤高1m、法勾配1:2の3面を有する試験堤防を製作した。堤体の盛土材は関東ローム（江戸崎1号）を用い、A面は不織布なし、B面は不織布の上に10cmの堤体土、C面はB面の条件に加え、不織布を2層とし、不織布間は20cmの砂質土層とした。表面は張芝（野芝）を平成8年10月に行い養生してきたものである。使用した不織布は表-1に示したものと同一である。

散水装置は、広角フルコーンノズルを天端上2.0mの高さに、1.7m間隔の格子状に12個設置した。各ノズルへの流量のバラツキを調整するため各系にバルブを取付けた。浸透水の集水は、法尻に集水樋を各斜面毎に設置し、排水管で散水系外のドラム管（内径567mm、地中に設置）に受け、水位上昇量を測定する施設とした。なお、もう一方の面は透明なアクリル製の壁とし、浸透水の観測窓としてある。

(2) 実験方法

総降雨量は、関東地方の日降雨量の最高値に近い300mmとした。降雨強度は、平均60mm/hrに設定し、散水円の外周面積40.5m²に対して40.5l/minを送水して5時間散水した。法尻高（ノズルまで3.0m）での散水円の径は約2.4mとなっており、この位置では降雨強度が約45mm/hrとなり、高度により降雨強度が異なること、また散水円は重複する範囲があるため、法面への降雨強度は、約66mm/hr相当になります。また厳密には一様ではない。実験時は天端を被覆して降雨を実験法面外へ流し、天端からの浸透水の無い条件で実験した。

降雨量の確認は、1時毎に各法面の重複円の位置で、415mm×495mmのトレーで5分間受けて測定した。

流出量の測定は、各々の法面毎にドラム缶に集水した水位を、実験開始後2時間までは1分間隔、その後は3分間隔でmm単位で測定した。なお、実験日の前日から、実験開始までに36mmの降雨があり、試験堤防の表層部は湿潤状態にあった。

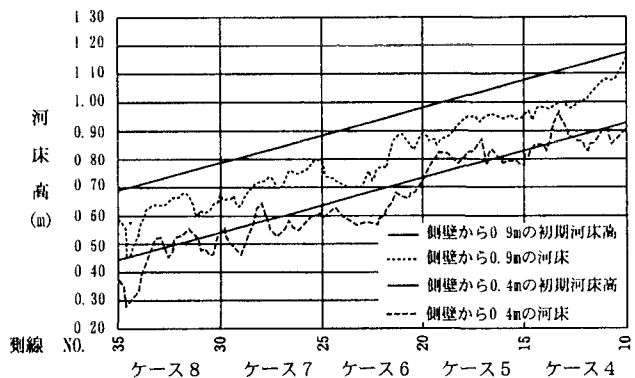


図-6 法面縦断図

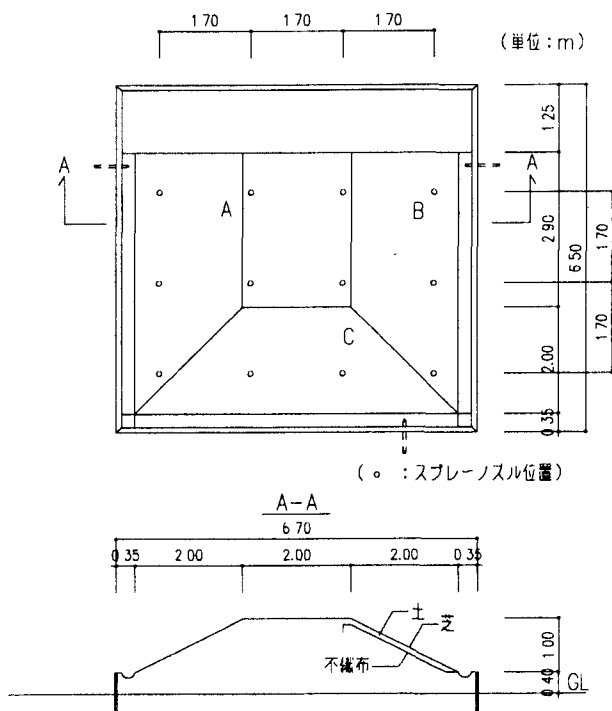


図-7 試験堤防

(3) 実験の結果と考察

測定降雨量は、実験中の風の影響があったことも考えられ、多少変動が見られたが、ほぼ設定降雨量に近い値であった。

流出量の測定結果は、集水樋に直接降ったと推定される量を差引いて示すと図-8のようである。不織布なしの法面では最後まで全量が堤体内へ浸透したことを見出している。これに対して、不織布ありは、一層、二層ともに流出があり、前日から降雨があつたためか、ほぼ10分後には定常状態に達している。実験時間内の水收支でみると、不織布一層の法面では41%が流失し、59%が浸透した結果となっている。二層の法面では46%が流失し、一層に対して若干多い結果にとどまっており、法尻部の敷設方法も関係

していると思われるが、一層目からの排水効果が非常に大きいことが示された。観察窓からの観察でも、不織布なしの法面は全体に湿潤状態が見られるのに對して、不織布一層の法面では明確な湿潤層は不織布の下方2~5cmまでであった。

5. まとめ

自然環境の保全に配慮した堤防強化工法として、植生の特性をより發揮させ、かつ維持管理の労・費の軽減を視野に入れて、不織布の有効性について実験により検討した。実験の結果をまとめると以下のようである。

水路実験からは、

- ①不織布の透水性が高いこと。シート状であることから、背面下に流れが生じ、また3m/s程度の水面動搖の激しい流れに伴ない不織布が振動し、堤体土の下方への流動と細粒分の流出により、法面の変形が見られた。
- ②この不織布の振動を抑えるためには、更に工夫が必要であることが示された。
- ③しかし、不織布の損傷や、簡単な巻込み敷設ながら不織布が流出するような挙動は見られなかった。今回の実験は2時間弱の通水であるが、実際の堤防が植生で被覆されることも考慮すれば、堤体の壊滅的破壊をくい止める、あるいは進行を遅らせる工法開発へ継げることが充分期待できると思われた。
- ④また、堤体の変形には、法面の緩傾斜化、不織布敷設面の表土層の材質により不織布の有効性がより高められるとの示唆を受けた。

降雨実験からは、

- ⑤不織布のドレーンとしての機能が高く、一層でも充分その効果が發揮されることが示され、雨水の堤体内への浸透による弱体化を防止する工法として、非常に有効な方法と考えられた。

今回の水路実験は、洪水により覆土が完全に流出した場合を想定した実験である。したがって、今後

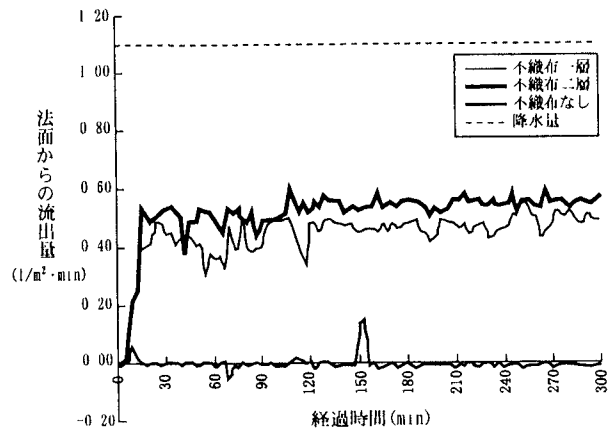


図-8 法面からの流出量の経時変化

は不織布と覆土、植生という3つの要素によって堤防強度がどれだけ向上するのかについても合わせて実験を重ねていくこととする。

参考文献

- 1) 北川 明, 宇多高明, 福岡捷二, 竹本典道, 服部 敦, 浜口憲一郎: 一関遊水地における越流小堤の耐侵食力に関する現地実験, 水工学論文集, 第39巻, pp.492-494, 1995年2月.
- 2) 北川 明, 宇多高明, 竹本典道, 栗田信博, 服部 敦: 植生の遷移と堤防の管理, 水工学論文集, 第39巻, pp.883-886, 1995年2月.
- 3) 吉川秀夫, 立石芳信: テンダーバックによる河川環境の創出, 河川環境総合研究所報告第1号, pp.103-106, 1995年7月.
- 4) 吉岡 淳: ジオテキスタイルー土質安定用纖維材ー, 月刊建設, Vol.30, pp.59, 1986年2月.
- 5) 久楽勝行, 青山憲明: 建設分野へ利用される新素材・新材料(その6)ー盛土・地盤用新材料ー, 土木技術資料33-5, pp.64, 1991年.
- 6) 船木淳悟: ジオテキスタイルを用いた河岸浸食防止に関する実験, 第44回(平成8年度)北海道開発局技術研究発表会発表概要集(3), pp.151-156, 1997年2月.

(1997. 9. 30受付)